

西鉄基礎工事正 安部重彦
 福岡大学正 吉田信夫
 福岡大学正 今泉広二

1. はじめに

フリクション・カット工法によってケーソンが沈下するとき、刃型に内接する内面土に塑性流動を発生し支持地盤がセン断破壊される。筆者らはケーソン刃口のような水平と鉛直の両方向に作用する基礎が沈下するときの変形領域の伝播とすべり線の決定を行なってきた。²⁾ 今回は Terzaghi 等によって与えられている支持力理論曲線と実験によるすべり曲線とを比較し、すべり線の決定および沈下やすべり限界幅等の関係を考観した。³⁾ また第1報で問題となつた実験槽の側面摩擦の影響も検討した。

2. 実験概要

試料および実験装置は従来から用いている川砂と載荷試験装置である。実験方法は砂の変位を読みとるために 5 cm 間隔で標点を配置し、ガラス面を通して観測できるようにした。ガラス面にはマツツを減ずるためにシリコーン・グリースを塗布したときと、塗布していないときとを比較した。砂はやや締め固めた状態で 2~4 時間以上放置した後、載荷を行ない、各荷重段階の標点の移動や砂表面の変位等を観測した。

3. 対数らせんによる解法

受働破壊と仮定したすべり面の近似形状を、対数らせんと平面すべりとから合成されたすべり線とすると図-1 のようになる。対数らせん及び Rankine 領域の幾何的関係より

$$H = r_0 \cdot \cos \theta \quad \dots \dots \dots (1)$$

$$B_0 = r_0 \cdot 2 \cos\left(\frac{\pi}{4} - \frac{\phi}{2}\right) \cdot e^{\alpha \tan \phi} \quad \dots \dots \dots (2)$$

が成立する。すなわち沈下量 H 、すべり限界幅 B_0 を求めるこ

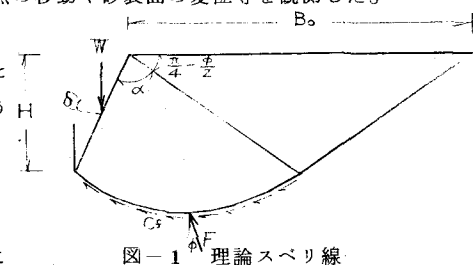


図-1 理論すべり線

とは r_0 の決定である。砂の単位密度 γ_t 、内部摩擦角 ϕ 、すべり面に働く粘着力 C を考え、 r_0 を未知数として解いていくと次の二次方程式で表わせることができる。⁴⁾

$$1.5 \times (a_1 + a_2) \times \gamma_t \times r_0^2 + 2C \times (a_3 + a_4) \times r_0 - a_5 \times W \times \cos \delta = 0 \quad \dots \dots \dots (3)$$

ただし a_1, a_2, a_3, a_4, a_5 は θ, ϕ, δ による定数である。

4. 実験との照合

水平・鉛直両方向の載荷試験による標点の移動や砂表面の盛り上がり及び実測される平面すべり線を図-2 にまとめて図示する。また、実測されたすべり破壊端および平面すべり線(写真-1)は約 30 度でせん断試験の値とよく一致する。図-2においてすべり破壊端より平面すべり線を記入し、載荷端を極とする対数らせんの理論曲線に合致させた。また、標点変位方向や変位量から過渡領域にすべり線を記入した。刃口

(a) 2 t/m

(b) 4 t/m

(c) 6 t/m

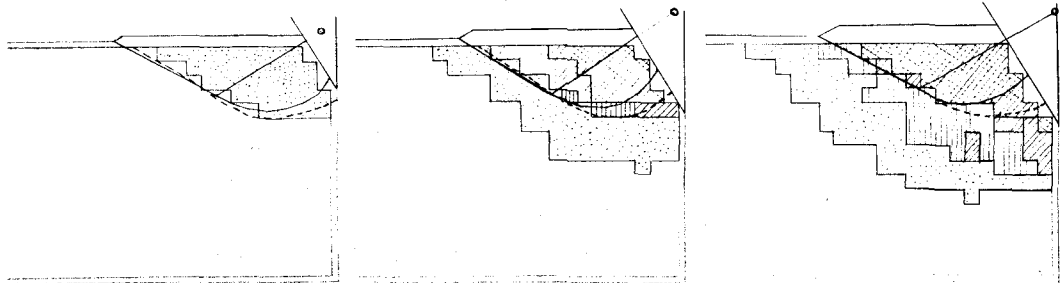


図-2 変位量図

■ 40 以上 ■ 40~30 ■ 30~20 ■ 20~10 □ 10~0 (mm)

の沈下に伴い載荷端の極が移動して各載荷の理論すべり線は移動するが、標点の変位より求められるすべり線は各載荷段階においてもほぼ一致しており、過渡領域のすべり線は移動しない。また、砂表面の変位量の測定からすべり線領域内の容積はほとんど変化しない。過渡領域のすべり線を連続的な曲線と仮定して対数らせんを適用すると、極の位置が載荷端ではなく図の中の点において良く一致する。標点の変位量の状態をみてみるとすべり線内に変位の最大領域が存在しており各載荷ごとに最大領域が伝播していくのがわかる。刃口の沈下に伴い刃口部の変位が大きくなっている。塑性域が発達の状態にあるものと考えられる。尚、載荷重が 6 t/m の場合、刃口部の先端付近に変位量の増大が観察され、以後 9 t/m の載荷まですべり破壊線は無く、 9 t/m のときにすべり線が観察された。

図-3は砂表面の変位量を表したものである。破壊した時点での大きさですべり線の進行する傾向は砂表面の変位量ではわからなかった。

図-4はガラス面の摩擦による側方変位の影響をみるために、ガラス面の摩擦低減を施したすべり線 G と摩擦低減を施さないすべり線 L を比較した。その結果 G では、側面と中央部の差は $5 \sim 10 \text{ cm}$ 以下になりガラス面の摩擦の影響は減少させることができた。

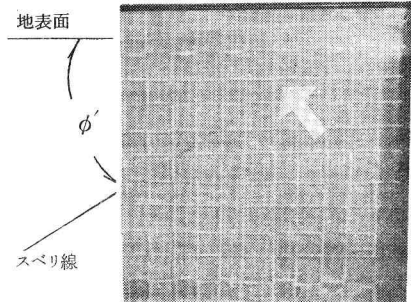
理論式(3)から B_0 は W や r_0 等の関数で表わされ、連続的に変化している。しかし、数多くの実験の結果 W と B_0 の関係が図-5のように階段状に変化するのが認められた。このようになるのは載荷試験中に試験砂のダイレタンシーに関係するためであろう。

5. まとめ

水平・鉛直両方向の合成した載荷試験の結果、変形領域の伝播はすべり破壊線の起こる前後で異なっていると考えられる。また、過渡領域においては明確なすべり線が観察されないので塑性域の発達過程を検討すべきである。せん断破壊した後のすべり線の形状は対数らせんをもとにした理論曲線で極の移動により近似することが確かめられた。しかし、解析においては今後は現在行なっている有限要素解析の中ですべりの解析を実施し、荷重とすべり限界幅との関連を検討する。

<参考文献>

- 1) 西鉄基礎工事KK：NK式オープケーション工法（ウェル工法）について 1977
- 2) 安部, 吉田, 今泉：ケーソンの沈下機構に関する基礎的実験 土木学会西部支部研究発表会講演集 1976
- 3) 山口 柏樹：支持力理論、土質工学ハンドブック、第10章、1968
- 4) 安部 重彦：ケーソンの沈下掘削に関する研究、東和大学紀要、No.3、1977



(写真-1) ガラス面のすべり線

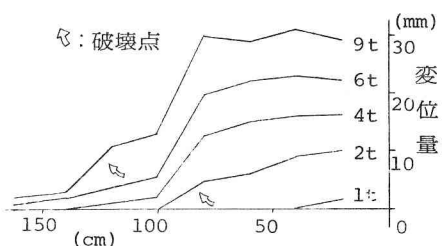


図-3 砂表面の変位量

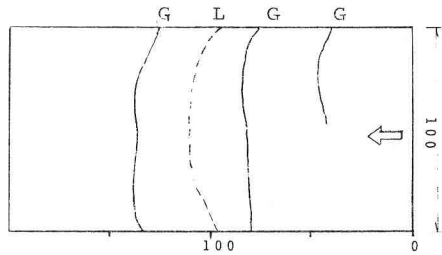


図-4 砂表面に生じたすべり線

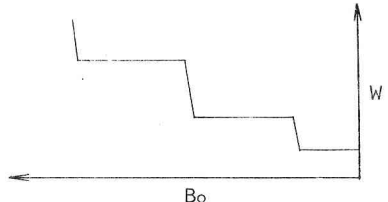


図-5 $W \sim B_0$ の関係